

3.7 Partialwellenzerlegung und Streuphasen



TECHNISCHE
UNIVERSITÄT
DARMSTADT

3.7 Partialwellenzerlegung und Streuphasen



▶ Partialwellenzerlegung

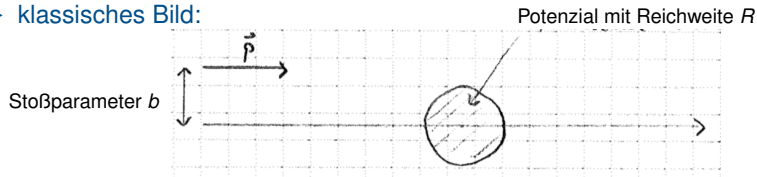
- ▶ basiert auf der Entwicklung der Wellenfunktion nach Drehimpulseigenzuständen
- ▶ besonders gut geeignet bei kleinen Energien

3.7 Partialwellenzerlegung und Streuphasen

► Partialwellenzerlegung

- basiert auf der Entwicklung der Wellenfunktion nach Drehimpulseigenzuständen
- besonders gut geeignet bei kleinen Energien

► klassisches Bild:



- Nur Teilchen mit $b \leq R$ werden gestreut.

⇒ Nur Drehimpulse $|\vec{\ell}| \leq R|\vec{p}|$ tragen zum Wirkungsquerschnitt bei.



- ▶ Schrödinger-Gl.mit radialsymmetrischem Potenzial $V(\vec{r}) = V(r)$:

$$\left(-\frac{\hbar^2}{2\mu} \vec{\nabla}^2 + V(r) \right) \psi(\vec{r}) = E\psi(\vec{r})$$



- ▶ Schrödinger-Gl.mit radialsymmetrischem Potenzial $V(\vec{r}) = V(r)$:

$$\left(-\frac{\hbar^2}{2\mu} \vec{\nabla}^2 + V(r) \right) \psi(\vec{r}) = E\psi(\vec{r})$$

- ▶ Erinnerung: $\vec{\nabla}^2 = \Delta = \frac{1}{r} \frac{\partial^2}{\partial r^2} r - \frac{\vec{L}^2}{\hbar^2 r^2}$

- ▶ Bahndrehimpuls: $\vec{L}^2 = -\hbar^2 \left(\frac{1}{\sin \theta} \frac{\partial}{\partial \theta} \sin \theta \frac{\partial}{\partial \theta} + \frac{1}{\sin^2 \theta} \frac{\partial^2}{\partial \varphi^2} \right)$

- ▶ Eigenfunktionen: $\vec{L}^2 Y_\ell^m(\theta, \varphi) = \ell(\ell + 1) \hbar^2 Y_\ell^m(\theta, \varphi)$



- ▶ Schrödinger-Gl. mit radialsymmetrischem Potenzial $V(\vec{r}) = V(r)$:

$$\left(-\frac{\hbar^2}{2\mu} \vec{\nabla}^2 + V(r) \right) \psi(\vec{r}) = E \psi(\vec{r})$$

- ▶ Erinnerung: $\vec{\nabla}^2 = \Delta = \frac{1}{r} \frac{\partial^2}{\partial r^2} r - \frac{\vec{L}^2}{\hbar^2 r^2}$

- ▶ Bahndrehimpuls: $\vec{L}^2 = -\hbar^2 \left(\frac{1}{\sin \theta} \frac{\partial}{\partial \theta} \sin \theta \frac{\partial}{\partial \theta} + \frac{1}{\sin^2 \theta} \frac{\partial^2}{\partial \varphi^2} \right)$

- ▶ Eigenfunktionen: $\vec{L}^2 Y_\ell^m(\theta, \varphi) = \ell(\ell + 1) \hbar^2 Y_\ell^m(\theta, \varphi)$

- Lösungen der Schrödinger-Gl. mit definiertem Bahndrehimpuls:

$$\psi_{\ell m}(\vec{r}) = R_\ell(r) Y_\ell^m(\theta, \varphi) \equiv \frac{u_\ell(r)}{r} Y_\ell^m(\theta, \varphi)$$



- ▶ Schrödinger-Gl. mit radialsymmetrischem Potenzial $V(\vec{r}) = V(r)$:

$$\left(-\frac{\hbar^2}{2\mu} \vec{\nabla}^2 + V(r) \right) \psi(\vec{r}) = E \psi(\vec{r})$$

- ▶ Erinnerung: $\vec{\nabla}^2 = \Delta = \frac{1}{r} \frac{\partial^2}{\partial r^2} r - \frac{\vec{L}^2}{\hbar^2 r^2}$

- ▶ Bahndrehimpuls: $\vec{L}^2 = -\hbar^2 \left(\frac{1}{\sin \theta} \frac{\partial}{\partial \theta} \sin \theta \frac{\partial}{\partial \theta} + \frac{1}{\sin^2 \theta} \frac{\partial^2}{\partial \varphi^2} \right)$

- ▶ Eigenfunktionen: $\vec{L}^2 Y_\ell^m(\theta, \varphi) = \ell(\ell + 1) \hbar^2 Y_\ell^m(\theta, \varphi)$

- Lösungen der Schrödinger-Gl. mit definiertem Bahndrehimpuls:

$$\psi_{\ell m}(\vec{r}) = R_\ell(r) Y_\ell^m(\theta, \varphi) \equiv \frac{u_\ell(r)}{r} Y_\ell^m(\theta, \varphi)$$

- ▶ Radialgleichung: $\left(-\frac{\hbar^2}{2\mu} \frac{d^2}{dr^2} + \underbrace{V(r) + \frac{\ell(\ell + 1)\hbar^2}{2\mu r^2}}_{V_{\text{eff}}(r)} \right) u_\ell(r) = E u_\ell(r)$



► Definiere: $U(r) = \frac{2\mu}{\hbar^2} V(r)$, $k^2 = \frac{2\mu}{\hbar^2} E$ (wie gehabt)

$$\Rightarrow \left(\frac{d^2}{dr^2} - U(r) - \frac{\ell(\ell+1)}{r^2} + k^2 \right) u_\ell(r) = 0$$



► Definiere: $U(r) = \frac{2\mu}{\hbar^2} V(r)$, $k^2 = \frac{2\mu}{\hbar^2} E$ (wie gehabt)

$$\Rightarrow \left(\frac{d^2}{dr^2} - U(r) - \frac{\ell(\ell+1)}{r^2} + k^2 \right) u_\ell(r) = 0$$

1. Nicht-wechselwirkender Fall: $V \equiv 0$

$$\Rightarrow \left(\frac{d^2}{dr^2} - \frac{\ell(\ell+1)}{r^2} + k^2 \right) u_\ell^{(0)}(r) = 0$$



► Definiere: $U(r) = \frac{2\mu}{\hbar^2} V(r)$, $k^2 = \frac{2\mu}{\hbar^2} E$ (wie gehabt)

$$\Rightarrow \left(\frac{d^2}{dr^2} - U(r) - \frac{\ell(\ell+1)}{r^2} + k^2 \right) u_\ell(r) = 0$$

1. Nicht-wechselwirkender Fall: $V \equiv 0$

$$\Rightarrow \left(\frac{d^2}{dr^2} - \frac{\ell(\ell+1)}{r^2} + k^2 \right) u_\ell^{(0)}(r) = 0$$

linear unabhängige Lösungen:

- $F_\ell(kr) = kr j_\ell(kr)$, $j_\ell(x) =$ sphärische Besselfunktionen
- $G_\ell(kr) = kr n_\ell(kr)$, $n_\ell(x) =$ sphärische Neumannfunktionen



► Definiere: $U(r) = \frac{2\mu}{\hbar^2} V(r)$, $k^2 = \frac{2\mu}{\hbar^2} E$ (wie gehabt)

$$\Rightarrow \left(\frac{d^2}{dr^2} - U(r) - \frac{\ell(\ell+1)}{r^2} + k^2 \right) u_\ell(r) = 0$$

1. Nicht-wechselwirkender Fall: $V \equiv 0$

$$\Rightarrow \left(\frac{d^2}{dr^2} - \frac{\ell(\ell+1)}{r^2} + k^2 \right) u_\ell^{(0)}(r) = 0$$

linear unabhängige Lösungen:

- $F_\ell(kr) = kr j_\ell(kr)$, $j_\ell(x) =$ sphärische Besselfunktionen
- $G_\ell(kr) = kr n_\ell(kr)$, $n_\ell(x) =$ sphärische Neumannfunktionen

z.B.

$$j_0(x) = \frac{\sin x}{x}, \quad n_0(x) = -\frac{\cos x}{x},$$
$$j_1(x) = \frac{\sin x}{x^2} - \frac{\cos x}{x}, \quad n_1(x) = -\frac{\cos x}{x^2} - \frac{\sin x}{x}$$



► Asymptotisches Verhalten:

► Bessel: $j_\ell(x \rightarrow 0) \propto x^\ell$, $j_\ell(x \rightarrow \infty) \rightarrow \frac{\sin(x - \ell \frac{\pi}{2})}{x}$

► Neumann: $n_\ell(x \rightarrow 0) \propto \frac{1}{x^{\ell+1}}$, $n_\ell(x \rightarrow \infty) \rightarrow -\frac{\cos(x - \ell \frac{\pi}{2})}{x}$



► Asymptotisches Verhalten:

► Bessel: $j_\ell(x \rightarrow 0) \propto x^\ell$, $j_\ell(x \rightarrow \infty) \rightarrow \frac{\sin(x - \ell \frac{\pi}{2})}{x}$

► Neumann: $n_\ell(x \rightarrow 0) \propto \frac{1}{x^{\ell+1}}$, $n_\ell(x \rightarrow \infty) \rightarrow -\frac{\cos(x - \ell \frac{\pi}{2})}{x}$

→ Die Neumannfunktionen divergieren am Ursprung und sind nicht als Lösungen des freien Problems ($V \equiv 0$) zulässig.



► Asymptotisches Verhalten:

► Bessel: $j_\ell(x \rightarrow 0) \propto x^\ell$, $j_\ell(x \rightarrow \infty) \rightarrow \frac{\sin(x - \ell \frac{\pi}{2})}{x}$

► Neumann: $n_\ell(x \rightarrow 0) \propto \frac{1}{x^{\ell+1}}$, $n_\ell(x \rightarrow \infty) \rightarrow -\frac{\cos(x - \ell \frac{\pi}{2})}{x}$

→ Die Neumannfunktionen divergieren am Ursprung und sind nicht als Lösungen des freien Problems ($V \equiv 0$) zulässig:

► Normierbarkeit:

$$\int d^3r |\psi_{\ell m}|^2 \propto \int_0^\infty r^2 dr |R_\ell|^2 = \int_0^\infty dr |u_\ell|^2 \propto \begin{cases} \int dr r^2 j_\ell^2(kr) \\ \int dr r^2 n_\ell^2(kr)^2 \end{cases}$$



► Asymptotisches Verhalten:

► Bessel: $j_\ell(x \rightarrow 0) \propto x^\ell$, $j_\ell(x \rightarrow \infty) \rightarrow \frac{\sin(x - \ell \frac{\pi}{2})}{x}$

► Neumann: $n_\ell(x \rightarrow 0) \propto \frac{1}{x^{\ell+1}}$, $n_\ell(x \rightarrow \infty) \rightarrow -\frac{\cos(x - \ell \frac{\pi}{2})}{x}$

→ Die Neumannfunktionen divergieren am Ursprung und sind nicht als Lösungen des freien Problems ($V \equiv 0$) zulässig:

► Normierbarkeit:

$$\int d^3r |\psi_{\ell m}|^2 \propto \int_0^\infty r^2 dr |R_\ell|^2 = \int_0^\infty dr |u_\ell|^2 \propto \begin{cases} \int dr r^2 j_\ell^2(kr) \\ \int dr r^2 n_\ell^2(kr)^2 \end{cases}$$

⇒ Für $\ell \geq 1$ sind die n_ℓ am Ursprung nicht normierbar.



► Sonderfall $\ell = 0$:

Sei $u_0(r) = G_0(kr) = kr n_0(kr) = -\cos(kr)$

löst die freie Radialgleichung $\left(\frac{d^2}{dr^2} + k^2\right)u_0(r) = 0 \quad \checkmark$



► Sonderfall $\ell = 0$:

Sei $u_0(r) = G_0(kr) = kr n_0(kr) = -\cos(kr)$

löst die freie Radialgleichung $\left(\frac{d^2}{dr^2} + k^2\right)u_0(r) = 0 \quad \checkmark$

Gesamtwellenfunktion:

$$\psi_{00}(\vec{r}) = \frac{u_0}{r} Y_0^0(\theta, \varphi) = \frac{1}{\sqrt{4\pi}} \frac{u_0}{r} = -\frac{1}{\sqrt{4\pi}} \frac{\cos(kr)}{r}$$



► Sonderfall $\ell = 0$:

Sei $u_0(r) = G_0(kr) = kr n_0(kr) = -\cos(kr)$

löst die freie Radialgleichung $\left(\frac{d^2}{dr^2} + k^2\right)u_0(r) = 0 \quad \checkmark$

Gesamtwellenfunktion:

$$\psi_{00}(\vec{r}) = \frac{u_0}{r} Y_0^0(\theta, \varphi) = \frac{1}{\sqrt{4\pi}} \frac{u_0}{r} = -\frac{1}{\sqrt{4\pi}} \frac{\cos(kr)}{r}$$

Verhalten am Ursprung: $\psi_{00}(\vec{r} \rightarrow \vec{0}) = -\frac{1}{\sqrt{4\pi}} \frac{1}{r}$



► Sonderfall $\ell = 0$:

Sei $u_0(r) = G_0(kr) = kr n_0(kr) = -\cos(kr)$

löst die freie Radialgleichung $\left(\frac{d^2}{dr^2} + k^2\right)u_0(r) = 0 \quad \checkmark$

Gesamtwellenfunktion:

$$\psi_{00}(\vec{r}) = \frac{u_0}{r} Y_0^0(\theta, \varphi) = \frac{1}{\sqrt{4\pi}} \frac{u_0}{r} = -\frac{1}{\sqrt{4\pi}} \frac{\cos(kr)}{r}$$

Verhalten am Ursprung: $\psi_{00}(\vec{r} \rightarrow \vec{0}) = -\frac{1}{\sqrt{4\pi}} \frac{1}{r}$

Erinnerung Elektrostatik: $\Delta \frac{1}{r} = -4\pi \delta^3(\vec{r})$



► Sonderfall $\ell = 0$:

Sei $u_0(r) = G_0(kr) = kr n_0(kr) = -\cos(kr)$

löst die freie Radialgleichung $\left(\frac{d^2}{dr^2} + k^2\right)u_0(r) = 0 \quad \checkmark$

Gesamtwellenfunktion:

$$\psi_{00}(\vec{r}) = \frac{u_0}{r} Y_0^0(\theta, \varphi) = \frac{1}{\sqrt{4\pi}} \frac{u_0}{r} = -\frac{1}{\sqrt{4\pi}} \frac{\cos(kr)}{r}$$

Verhalten am Ursprung: $\psi_{00}(\vec{r} \rightarrow \vec{0}) = -\frac{1}{\sqrt{4\pi}} \frac{1}{r}$

Erinnerung Elektrostatik: $\Delta \frac{1}{r} = -4\pi \delta^3(\vec{r})$

→ $\psi_{00}(\vec{r})$ löst die freie Schrödinger-Gleichung **überall außer am Ursprung!**



► Sonderfall $\ell = 0$:

Sei $u_0(r) = G_0(kr) = kr n_0(kr) = -\cos(kr)$

löst die freie Radialgleichung $(\frac{d^2}{dr^2} + k^2)u_0(r) = 0 \quad \checkmark$

Gesamtwellenfunktion:

$$\psi_{00}(\vec{r}) = \frac{u_0}{r} Y_0^0(\theta, \varphi) = \frac{1}{\sqrt{4\pi}} \frac{u_0}{r} = -\frac{1}{\sqrt{4\pi}} \frac{\cos(kr)}{r}$$

Verhalten am Ursprung: $\psi_{00}(\vec{r} \rightarrow \vec{0}) = -\frac{1}{\sqrt{4\pi}} \frac{1}{r}$

Erinnerung Elektrostatik: $\Delta \frac{1}{r} = -4\pi \delta^3(\vec{r})$

→ $\psi_{00}(\vec{r})$ löst die freie Schrödinger-Gleichung überall außer am Ursprung!

→ Lösungen der freien Schrödinger-Gleichung ($V \equiv 0$):

$$u_\ell^{(0)}(r) = \mathcal{N} F_\ell(kr) = \mathcal{N} kr j_\ell(kr) \xrightarrow{r \rightarrow \infty} \mathcal{N} \sin(kr - \ell \frac{\pi}{2})$$



2. räumlich lokalisiertes Potenzial:

$$V(r) \begin{cases} = 0 & \text{(oder vernachlässigbar) für } r > R \\ \neq 0 & \text{für kleine } r \end{cases}$$



2. räumlich lokalisiertes Potenzial:

$$V(r) \begin{cases} = 0 & \text{(oder vernachlässigbar) für } r > R \\ \neq 0 & \text{für kleine } r \end{cases}$$

→ Lösungen außerhalb des Potenzialbereichs:

$$u_\ell(r > R) = A_\ell F_\ell(kr) - B_\ell G_\ell(kr)$$



2. räumlich lokalisiertes Potenzial:

$$V(r) \begin{cases} = 0 & \text{(oder vernachlässigbar) für } r > R \\ \neq 0 & \text{für kleine } r \end{cases}$$

→ Lösungen außerhalb des Potenzialbereichs:

$$u_\ell(r > R) = A_\ell F_\ell(kr) - B_\ell G_\ell(kr)$$

- ▶ Neumannfunktionen jetzt erlaubt, da Ursprung nicht enthalten



2. räumlich lokalisiertes Potenzial:

$$V(r) \begin{cases} = 0 & \text{(oder vernachlässigbar) für } r > R \\ \neq 0 & \text{für kleine } r \end{cases}$$

→ Lösungen außerhalb des Potenzialbereichs:

$$u_\ell(r > R) = A_\ell F_\ell(kr) - B_\ell G_\ell(kr)$$

- ▶ Neumannfunktionen jetzt erlaubt, da Ursprung nicht enthalten
- ▶ Lösung sieht im Potenzialbereich (und speziell am Ursprung) anders aus



2. räumlich lokalisiertes Potenzial:

$$V(r) \begin{cases} = 0 & \text{(oder vernachlässigbar) für } r > R \\ \neq 0 & \text{für kleine } r \end{cases}$$

→ Lösungen außerhalb des Potenzialbereichs:

$$u_\ell(r > R) = A_\ell F_\ell(kr) - B_\ell G_\ell(kr)$$

- ▶ Neumannfunktionen jetzt erlaubt, da Ursprung nicht enthalten
- ▶ Lösung sieht im Potenzialbereich (und speziell am Ursprung) anders aus
- ▶ Koeffizienten A_ℓ und B_ℓ ergeben sich aus Anschlussbedingungen (Stetigkeit von u_ℓ und u'_ℓ am Potenzialrand)



► andere Notation: $u_\ell(r > R) = C_\ell (\cos \delta_\ell F_\ell(kr) - \sin \delta_\ell G_\ell(kr))$

$$\Rightarrow \left. \begin{array}{l} A_\ell = C_\ell \cos \delta_\ell \\ B_\ell = C_\ell \sin \delta_\ell \end{array} \right\} \Rightarrow C_\ell^2 = A_\ell^2 + B_\ell^2, \quad \tan \delta_\ell = \frac{B_\ell}{A_\ell}$$



▶ **andere Notation:** $u_\ell(r > R) = C_\ell (\cos \delta_\ell F_\ell(kr) - \sin \delta_\ell G_\ell(kr))$

$$\Rightarrow \left. \begin{array}{l} A_\ell = C_\ell \cos \delta_\ell \\ B_\ell = C_\ell \sin \delta_\ell \end{array} \right\} \Rightarrow C_\ell^2 = A_\ell^2 + B_\ell^2, \quad \tan \delta_\ell = \frac{B_\ell}{A_\ell}$$

- ▶ C_ℓ : (eher uninteressanter) Normierungsfaktor
- ▶ δ_ℓ : enthält Informationen über das Potenzial



► andere Notation: $u_\ell(r > R) = C_\ell (\cos \delta_\ell F_\ell(kr) - \sin \delta_\ell G_\ell(kr))$

$$\Rightarrow \left. \begin{array}{l} A_\ell = C_\ell \cos \delta_\ell \\ B_\ell = C_\ell \sin \delta_\ell \end{array} \right\} \Rightarrow C_\ell^2 = A_\ell^2 + B_\ell^2, \quad \tan \delta_\ell = \frac{B_\ell}{A_\ell}$$

- C_ℓ : (eher uninteressanter) Normierungsfaktor
- δ_ℓ : enthält Informationen über das Potenzial
($V \equiv 0 \Rightarrow B_\ell = 0 \Rightarrow \delta_\ell = 0$)



▶ **andere Notation:** $u_\ell(r > R) = C_\ell (\cos \delta_\ell F_\ell(kr) - \sin \delta_\ell G_\ell(kr))$

$$\Rightarrow \left. \begin{array}{l} A_\ell = C_\ell \cos \delta_\ell \\ B_\ell = C_\ell \sin \delta_\ell \end{array} \right\} \Rightarrow C_\ell^2 = A_\ell^2 + B_\ell^2, \quad \tan \delta_\ell = \frac{B_\ell}{A_\ell}$$

▶ C_ℓ : (eher uninteressanter) Normierungsfaktor

▶ δ_ℓ : enthält Informationen über das Potenzial
($V \equiv 0 \Rightarrow B_\ell = 0 \Rightarrow \delta_\ell = 0$)

▶ **asymptotisches Verhalten:**

$$u_\ell(r \rightarrow \infty) = C_\ell \left(\cos \delta_\ell \sin(kr - \ell \frac{\pi}{2}) + \sin \delta_\ell \cos(kr - \ell \frac{\pi}{2}) \right)$$



▶ **andere Notation:** $u_\ell(r > R) = C_\ell (\cos \delta_\ell F_\ell(kr) - \sin \delta_\ell G_\ell(kr))$

$$\Rightarrow \left. \begin{array}{l} A_\ell = C_\ell \cos \delta_\ell \\ B_\ell = C_\ell \sin \delta_\ell \end{array} \right\} \Rightarrow C_\ell^2 = A_\ell^2 + B_\ell^2, \quad \tan \delta_\ell = \frac{B_\ell}{A_\ell}$$

▶ C_ℓ : (eher uninteressanter) Normierungsfaktor

▶ δ_ℓ : enthält Informationen über das Potenzial
($V \equiv 0 \Rightarrow B_\ell = 0 \Rightarrow \delta_\ell = 0$)

▶ **asymptotisches Verhalten:**

$$\begin{aligned} u_\ell(r \rightarrow \infty) &= C_\ell (\cos \delta_\ell \sin(kr - \ell \frac{\pi}{2}) + \sin \delta_\ell \cos(kr - \ell \frac{\pi}{2})) \\ &= C_\ell \sin(kr - \ell \frac{\pi}{2} + \delta_\ell) \end{aligned}$$



▶ **andere Notation:** $u_\ell(r > R) = C_\ell (\cos \delta_\ell F_\ell(kr) - \sin \delta_\ell G_\ell(kr))$

$$\Rightarrow \left. \begin{array}{l} A_\ell = C_\ell \cos \delta_\ell \\ B_\ell = C_\ell \sin \delta_\ell \end{array} \right\} \Rightarrow C_\ell^2 = A_\ell^2 + B_\ell^2, \quad \tan \delta_\ell = \frac{B_\ell}{A_\ell}$$

▶ C_ℓ : (eher uninteressanter) Normierungsfaktor

▶ δ_ℓ : enthält Informationen über das Potenzial
($V \equiv 0 \Rightarrow B_\ell = 0 \Rightarrow \delta_\ell = 0$)

▶ **asymptotisches Verhalten:**

$$\begin{aligned} u_\ell(r \rightarrow \infty) &= C_\ell (\cos \delta_\ell \sin(kr - \ell \frac{\pi}{2}) + \sin \delta_\ell \cos(kr - \ell \frac{\pi}{2})) \\ &= C_\ell \sin(kr - \ell \frac{\pi}{2} + \delta_\ell) \end{aligned}$$

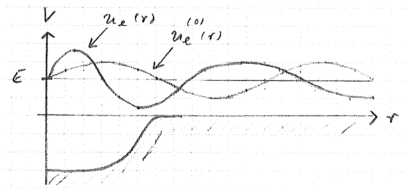
→ δ_ℓ : „Phasenverschiebung“, „Streuphase“



► **attraktives Potenzial:**

Welle oszilliert für $V < 0$ schneller
als freie Welle gleicher Energie

→ **Phasenvorsprung** bei $r > R$





► **attraktives Potenzial:**

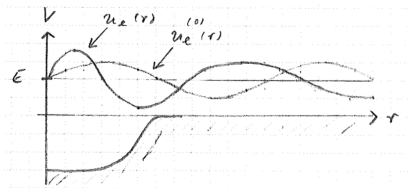
Welle oszilliert für $V < 0$ schneller
als freie Welle gleicher Energie

→ **Phasenvorsprung** bei $r > R$

► **repulsives Potenzial:**

Welle oszilliert für $V > 0$ langsamer ($E > V$) als freie Welle gleicher Energie
oder gar nicht ($E < V$)

→ **Phasenrückstand** bei $r > R$

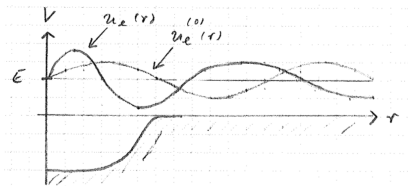




▶ **attraktives Potenzial:**

Welle oszilliert für $V < 0$ schneller
als freie Welle gleicher Energie

→ **Phasenvorsprung** bei $r > R$



▶ **repulsives Potenzial:**

Welle oszilliert für $V > 0$ langsamer ($E > V$) als freie Welle gleicher Energie
oder gar nicht ($E < V$)

→ **Phasentrückstand** bei $r > R$

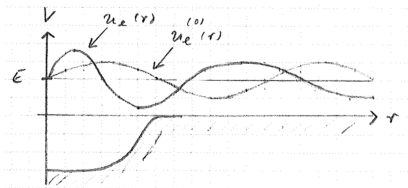
▶ **also:** $V < 0 \rightarrow \delta_\ell > 0$, $V > 0 \rightarrow \delta_\ell < 0$



► **attraktives Potenzial:**

Welle oszilliert für $V < 0$ schneller
als freie Welle gleicher Energie

→ **Phasenvorsprung** bei $r > R$



► **repulsives Potenzial:**

Welle oszilliert für $V > 0$ langsamer ($E > V$) als freie Welle gleicher Energie
oder gar nicht ($E < V$)

→ **Phasentrückstand** bei $r > R$

► **also:** $V < 0 \rightarrow \delta_\ell > 0$, $V > 0 \rightarrow \delta_\ell < 0$

► **beachte:** $\delta_\ell = \delta_\ell(E)$

Zusammenhang mit der Streuamplitude



TECHNISCHE
UNIVERSITÄT
DARMSTADT



- Lösung des Streuproblems:

$$\psi_{\vec{k}}(\vec{r}) = e^{ikz} + \psi_{\text{streu}}(\vec{r}) \xrightarrow{r \rightarrow \infty} e^{ikz} + f_k(\theta) \frac{e^{ikr}}{r}$$



- Lösung des Streuproblems:

$$\psi_{\vec{k}}(\vec{r}) = e^{ikz} + \psi_{\text{streu}}(\vec{r}) \xrightarrow{r \rightarrow \infty} e^{ikz} + f_k(\theta) \frac{e^{ikr}}{r}$$

kein Drehimpulseigenzustand



► Lösung des Streuproblems:

$$\psi_{\vec{k}}(\vec{r}) = e^{ikz} + \psi_{\text{streu}}(\vec{r}) \xrightarrow{r \rightarrow \infty} e^{ikz} + f_k(\theta) \frac{e^{ikr}}{r}$$

kein Drehimpulseigenzustand, aber kann danach entwickelt werden:

$$\psi_{\vec{k}}(\vec{r}) = \sum_{\ell, m} c_{\ell m} \frac{u_{\ell}(r)}{r} Y_{\ell}^m(\theta, \varphi)$$



- Lösung des Streuproblems:

$$\psi_{\vec{k}}(\vec{r}) = e^{ikz} + \psi_{\text{streu}}(\vec{r}) \xrightarrow{r \rightarrow \infty} e^{ikz} + f_k(\theta) \frac{e^{ikr}}{r}$$

kein Drehimpulseigenzustand, aber kann danach entwickelt werden:

$$\psi_{\vec{k}}(\vec{r}) = \sum_{\ell, m} c_{\ell m} \frac{u_{\ell}(r)}{r} Y_{\ell}^m(\theta, \varphi)$$

- radialsymmetrisches Potenzial $V(r) \Rightarrow \psi_{\vec{k}}$ hängt nicht von φ ab.



- Lösung des Streuproblems:

$$\psi_{\vec{k}}(\vec{r}) = e^{ikz} + \psi_{\text{streu}}(\vec{r}) \xrightarrow{r \rightarrow \infty} e^{ikz} + f_k(\theta) \frac{e^{ikr}}{r}$$

kein Drehimpulseigenzustand, aber kann danach entwickelt werden:

$$\psi_{\vec{k}}(\vec{r}) = \sum_{\ell, m} c_{\ell m} \frac{u_{\ell}(r)}{r} Y_{\ell}^m(\theta, \varphi)$$

- radialsymmetrisches Potenzial $V(r) \Rightarrow \psi_{\vec{k}}$ hängt nicht von φ ab.
→ nur $Y_{\ell}^0 \propto P_{\ell}(\cos \theta)$



- Lösung des Streuproblems:

$$\psi_{\vec{k}}(\vec{r}) = e^{ikz} + \psi_{\text{streu}}(\vec{r}) \xrightarrow{r \rightarrow \infty} e^{ikz} + f_k(\theta) \frac{e^{ikr}}{r}$$

kein Drehimpulseigenzustand, aber kann danach entwickelt werden:

$$\psi_{\vec{k}}(\vec{r}) = \sum_{\ell, m} c_{\ell m} \frac{u_{\ell}(r)}{r} Y_{\ell}^m(\theta, \varphi)$$

- radialsymmetrisches Potenzial $V(r) \Rightarrow \psi_{\vec{k}}$ hängt nicht von φ ab.

→ nur $Y_{\ell}^0 \propto P_{\ell}(\cos \theta)$

→ $\psi_{\vec{k}}(\vec{r}) = \sum_{\ell} c_{\ell} \frac{u_{\ell}(r)}{r} P_{\ell}(\cos \theta)$



- Lösung des Streuproblems:

$$\psi_{\vec{k}}(\vec{r}) = e^{ikz} + \psi_{\text{streu}}(\vec{r}) \xrightarrow{r \rightarrow \infty} e^{ikz} + f_k(\theta) \frac{e^{ikr}}{r}$$

kein Drehimpulseigenzustand, aber kann danach entwickelt werden:

$$\psi_{\vec{k}}(\vec{r}) = \sum_{\ell, m} c_{\ell m} \frac{u_{\ell}(r)}{r} Y_{\ell}^m(\theta, \varphi)$$

- radialsymmetrisches Potenzial $V(r) \Rightarrow \psi_{\vec{k}}$ hängt nicht von φ ab.

→ nur $Y_{\ell}^0 \propto P_{\ell}(\cos \theta)$

→ $\psi_{\vec{k}}(\vec{r}) = \sum_{\ell} c_{\ell} \frac{u_{\ell}(r)}{r} P_{\ell}(\cos \theta) \equiv \sum_{\ell} \psi_{\ell}, \quad \psi_{\ell}: \text{„Partialwellen“}$



► einlaufende ebene Welle:
$$e^{ikz} = \sum_{\ell=0}^{\infty} i^{\ell} (2\ell + 1) j_{\ell}(kr) P_{\ell}(\cos \theta)$$



► einlaufende ebene Welle: $e^{ikz} = \sum_{\ell=0}^{\infty} j^{\ell} (2\ell + 1) j_{\ell}(kr) P_{\ell}(\cos \theta)$

$$\Rightarrow e^{ikz} \xrightarrow{r \rightarrow \infty} \sum_{\ell=0}^{\infty} j^{\ell} (2\ell + 1) \frac{\sin(kr - \ell \frac{\pi}{2})}{kr} P_{\ell}(\cos \theta)$$



► einlaufende ebene Welle: $e^{ikz} = \sum_{\ell=0}^{\infty} j^{\ell} (2\ell + 1) j_{\ell}(kr) P_{\ell}(\cos \theta)$

$$\begin{aligned} \Rightarrow e^{ikz} &\xrightarrow{r \rightarrow \infty} \sum_{\ell=0}^{\infty} j^{\ell} (2\ell + 1) \frac{\sin(kr - \ell \frac{\pi}{2})}{kr} P_{\ell}(\cos \theta) \\ &= \sum_{\ell=0}^{\infty} j^{\ell} \frac{2\ell+1}{2ik} \left(\frac{e^{i(kr - \ell \frac{\pi}{2})}}{r} - \frac{e^{-i(kr - \ell \frac{\pi}{2})}}{r} \right) P_{\ell}(\cos \theta) \end{aligned}$$

(auslaufende – einlaufende) Kugelwellen



► einlaufende ebene Welle: $e^{ikz} = \sum_{\ell=0}^{\infty} j^{\ell} (2\ell + 1) j_{\ell}(kr) P_{\ell}(\cos \theta)$

$$\begin{aligned} \Rightarrow e^{ikz} &\xrightarrow{r \rightarrow \infty} \sum_{\ell=0}^{\infty} j^{\ell} (2\ell + 1) \frac{\sin(kr - \ell \frac{\pi}{2})}{kr} P_{\ell}(\cos \theta) \\ &= \sum_{\ell=0}^{\infty} j^{\ell} \frac{2\ell + 1}{2ik} \left(\frac{e^{i(kr - \ell \frac{\pi}{2})}}{r} - \frac{e^{-i(kr - \ell \frac{\pi}{2})}}{r} \right) P_{\ell}(\cos \theta) \end{aligned}$$

(auslaufende – einlaufende) Kugelwellen

► Entwicklung der Streuamplitude: $f_k(\theta) = \sum_{\ell=0}^{\infty} f_{\ell} P_{\ell}(\cos \theta), \quad f_{\ell} = f_{\ell}(E)$



► einlaufende ebene Welle: $e^{ikz} = \sum_{\ell=0}^{\infty} j^{\ell} (2\ell + 1) j_{\ell}(kr) P_{\ell}(\cos \theta)$

$$\begin{aligned} \Rightarrow e^{ikz} &\xrightarrow{r \rightarrow \infty} \sum_{\ell=0}^{\infty} j^{\ell} (2\ell + 1) \frac{\sin(kr - \ell \frac{\pi}{2})}{kr} P_{\ell}(\cos \theta) \\ &= \sum_{\ell=0}^{\infty} j^{\ell} \frac{2\ell+1}{2ik} \left(\frac{e^{i(kr - \ell \frac{\pi}{2})}}{r} - \frac{e^{-i(kr - \ell \frac{\pi}{2})}}{r} \right) P_{\ell}(\cos \theta) \end{aligned}$$

(auslaufende – einlaufende) Kugelwellen

► Entwicklung der Streuamplitude: $f_k(\theta) = \sum_{\ell=0}^{\infty} f_{\ell} P_{\ell}(\cos \theta)$, $f_{\ell} = f_{\ell}(E)$

$$\Rightarrow \psi_{\vec{k}}(\vec{r}) \xrightarrow{r \rightarrow \infty} \sum_{\ell=0}^{\infty} \frac{1}{r} \left\{ j^{\ell} \frac{2\ell+1}{2ik} \left[e^{i(kr - \ell \frac{\pi}{2})} - e^{-i(kr - \ell \frac{\pi}{2})} \right] + f_{\ell} e^{ikr} \right\} P_{\ell}(\cos \theta)$$



► einlaufende ebene Welle: $e^{ikz} = \sum_{\ell=0}^{\infty} j^{\ell} (2\ell + 1) j_{\ell}(kr) P_{\ell}(\cos \theta)$

$$\begin{aligned} \Rightarrow e^{ikz} &\xrightarrow{r \rightarrow \infty} \sum_{\ell=0}^{\infty} j^{\ell} (2\ell + 1) \frac{\sin(kr - \ell \frac{\pi}{2})}{kr} P_{\ell}(\cos \theta) \\ &= \sum_{\ell=0}^{\infty} j^{\ell} \frac{2\ell+1}{2ik} \left(\frac{e^{i(kr - \ell \frac{\pi}{2})}}{r} - \frac{e^{-i(kr - \ell \frac{\pi}{2})}}{r} \right) P_{\ell}(\cos \theta) \end{aligned}$$

(auslaufende – einlaufende) Kugelwellen

► Entwicklung der Streuamplitude: $f_k(\theta) = \sum_{\ell=0}^{\infty} f_{\ell} P_{\ell}(\cos \theta)$, $f_{\ell} = f_{\ell}(E)$

$$\Rightarrow \psi_{\vec{k}}(\vec{r}) \xrightarrow{r \rightarrow \infty} \sum_{\ell=0}^{\infty} \frac{1}{r} \left\{ j^{\ell} \frac{2\ell+1}{2ik} \left[e^{i(kr - \ell \frac{\pi}{2})} - e^{-i(kr - \ell \frac{\pi}{2})} \right] + f_{\ell} e^{ikr} \right\} P_{\ell}(\cos \theta)$$

$$f_{\ell} e^{ikr} = f_{\ell} e^{i\ell \frac{\pi}{2}} e^{i(kr - \ell \frac{\pi}{2})} = f_{\ell} j^{\ell} e^{i(kr - \ell \frac{\pi}{2})}$$



► einlaufende ebene Welle: $e^{ikz} = \sum_{\ell=0}^{\infty} j^{\ell} (2\ell + 1) j_{\ell}(kr) P_{\ell}(\cos \theta)$

$$\begin{aligned} \Rightarrow e^{ikz} &\xrightarrow{r \rightarrow \infty} \sum_{\ell=0}^{\infty} j^{\ell} (2\ell + 1) \frac{\sin(kr - \ell \frac{\pi}{2})}{kr} P_{\ell}(\cos \theta) \\ &= \sum_{\ell=0}^{\infty} j^{\ell} \frac{2\ell+1}{2ik} \left(\frac{e^{i(kr - \ell \frac{\pi}{2})}}{r} - \frac{e^{-i(kr - \ell \frac{\pi}{2})}}{r} \right) P_{\ell}(\cos \theta) \end{aligned}$$

(auslaufende – einlaufende) Kugelwellen

► Entwicklung der Streuamplitude: $f_k(\theta) = \sum_{\ell=0}^{\infty} f_{\ell} P_{\ell}(\cos \theta), \quad f_{\ell} = f_{\ell}(E)$

$$\Rightarrow \psi_{\vec{k}}(\vec{r}) \xrightarrow{r \rightarrow \infty} \sum_{\ell=0}^{\infty} \frac{1}{r} \left\{ j^{\ell} \frac{2\ell+1}{2ik} \left[\left(1 + \frac{2ik}{2\ell+1} f_{\ell}\right) e^{i(kr - \ell \frac{\pi}{2})} - e^{-i(kr - \ell \frac{\pi}{2})} \right] \right\} P_{\ell}(\cos \theta)$$

$$f_{\ell} e^{ikr} = f_{\ell} e^{i\ell \frac{\pi}{2}} e^{i(kr - \ell \frac{\pi}{2})} = f_{\ell} j^{\ell} e^{i(kr - \ell \frac{\pi}{2})}$$



$$\begin{aligned} \blacktriangleright \psi_{\vec{k}}(\vec{r}) &= \sum_{\ell} c_{\ell} \frac{u_{\ell}(r)}{r} P_{\ell}(\cos \theta) \\ &\xrightarrow{r \rightarrow \infty} \sum_{\ell=0}^{\infty} \frac{1}{r} \left\{ i^{\ell} \frac{2\ell+1}{2ik} \left[\left(1 + \frac{2ik}{2\ell+1} f_{\ell} \right) e^{i(kr - \ell \frac{\pi}{2})} - e^{-i(kr - \ell \frac{\pi}{2})} \right] \right\} P_{\ell}(\cos \theta) \\ \Rightarrow u_{\ell}(r \rightarrow \infty) &\propto i^{\ell} \frac{2\ell+1}{2ik} \left[\left(1 + \frac{2ik}{2\ell+1} f_{\ell} \right) e^{i(kr - \ell \frac{\pi}{2})} - e^{-i(kr - \ell \frac{\pi}{2})} \right] \end{aligned}$$



$$\begin{aligned} \blacktriangleright \psi_{\vec{k}}(\vec{r}) &= \sum_{\ell} c_{\ell} \frac{u_{\ell}(r)}{r} P_{\ell}(\cos \theta) \\ &\xrightarrow{r \rightarrow \infty} \sum_{\ell=0}^{\infty} \frac{1}{r} \left\{ i^{\ell} \frac{2\ell+1}{2ik} \left[\left(1 + \frac{2ik}{2\ell+1} f_{\ell} \right) e^{i(kr - \ell \frac{\pi}{2})} - e^{-i(kr - \ell \frac{\pi}{2})} \right] \right\} P_{\ell}(\cos \theta) \\ \Rightarrow u_{\ell}(r \rightarrow \infty) &\propto i^{\ell} \frac{2\ell+1}{2ik} \left[\left(1 + \frac{2ik}{2\ell+1} f_{\ell} \right) e^{i(kr - \ell \frac{\pi}{2})} - e^{-i(kr - \ell \frac{\pi}{2})} \right] \\ &\stackrel{!}{\propto} \sin(kr - \ell \frac{\pi}{2} + \delta_{\ell}) \end{aligned}$$



$$\begin{aligned} \blacktriangleright \psi_{\vec{k}}(\vec{r}) &= \sum_{\ell} c_{\ell} \frac{u_{\ell}(r)}{r} P_{\ell}(\cos \theta) \\ &\xrightarrow{r \rightarrow \infty} \sum_{\ell=0}^{\infty} \frac{1}{r} \left\{ i^{\ell} \frac{2\ell+1}{2ik} \left[\left(1 + \frac{2ik}{2\ell+1} f_{\ell} \right) e^{i(kr - \ell \frac{\pi}{2})} - e^{-i(kr - \ell \frac{\pi}{2})} \right] \right\} P_{\ell}(\cos \theta) \\ \Rightarrow u_{\ell}(r \rightarrow \infty) &\propto i^{\ell} \frac{2\ell+1}{2ik} \left[\left(1 + \frac{2ik}{2\ell+1} f_{\ell} \right) e^{i(kr - \ell \frac{\pi}{2})} - e^{-i(kr - \ell \frac{\pi}{2})} \right] \\ &\stackrel{!}{\propto} \sin\left(kr - \ell \frac{\pi}{2} + \delta_{\ell}\right) \\ &= \frac{1}{2i} \left[e^{i\delta_{\ell}} e^{i(kr - \ell \frac{\pi}{2})} - e^{-i\delta_{\ell}} e^{-i(kr - \ell \frac{\pi}{2})} \right] \end{aligned}$$



$$\begin{aligned} \blacktriangleright \psi_{\vec{k}}(\vec{r}) &= \sum_{\ell} c_{\ell} \frac{u_{\ell}(r)}{r} P_{\ell}(\cos \theta) \\ &\xrightarrow{r \rightarrow \infty} \sum_{\ell=0}^{\infty} \frac{1}{r} \left\{ i^{\ell} \frac{2\ell+1}{2ik} \left[\left(1 + \frac{2ik}{2\ell+1} f_{\ell} \right) e^{i(kr - \ell \frac{\pi}{2})} - e^{-i(kr - \ell \frac{\pi}{2})} \right] \right\} P_{\ell}(\cos \theta) \\ \Rightarrow u_{\ell}(r \rightarrow \infty) &\propto i^{\ell} \frac{2\ell+1}{2ik} \left[\left(1 + \frac{2ik}{2\ell+1} f_{\ell} \right) e^{i(kr - \ell \frac{\pi}{2})} - e^{-i(kr - \ell \frac{\pi}{2})} \right] \\ &\stackrel{!}{\propto} \sin\left(kr - \ell \frac{\pi}{2} + \delta_{\ell}\right) \\ &= \frac{1}{2i} \left[e^{i\delta_{\ell}} e^{i(kr - \ell \frac{\pi}{2})} - e^{-i\delta_{\ell}} e^{-i(kr - \ell \frac{\pi}{2})} \right] \\ &= \frac{1}{2i} e^{-i\delta_{\ell}} \left[e^{2i\delta_{\ell}} e^{i(kr - \ell \frac{\pi}{2})} - e^{-i(kr - \ell \frac{\pi}{2})} \right] \end{aligned}$$



$$\begin{aligned} \blacktriangleright \psi_{\vec{k}}(\vec{r}) &= \sum_{\ell} c_{\ell} \frac{u_{\ell}(r)}{r} P_{\ell}(\cos \theta) \\ &\xrightarrow{r \rightarrow \infty} \sum_{\ell=0}^{\infty} \frac{1}{r} \left\{ i^{\ell} \frac{2\ell+1}{2ik} \left[\left(1 + \frac{2ik}{2\ell+1} f_{\ell} \right) e^{i(kr - \ell \frac{\pi}{2})} - e^{-i(kr - \ell \frac{\pi}{2})} \right] \right\} P_{\ell}(\cos \theta) \\ \Rightarrow u_{\ell}(r \rightarrow \infty) &\propto i^{\ell} \frac{2\ell+1}{2ik} \left[\left(1 + \frac{2ik}{2\ell+1} f_{\ell} \right) e^{i(kr - \ell \frac{\pi}{2})} - e^{-i(kr - \ell \frac{\pi}{2})} \right] \\ &\stackrel{!}{\propto} \sin\left(kr - \ell \frac{\pi}{2} + \delta_{\ell}\right) \\ &= \frac{1}{2i} \left[e^{i\delta_{\ell}} e^{i(kr - \ell \frac{\pi}{2})} - e^{-i\delta_{\ell}} e^{-i(kr - \ell \frac{\pi}{2})} \right] \\ &= \frac{1}{2i} e^{-i\delta_{\ell}} \left[e^{2i\delta_{\ell}} e^{i(kr - \ell \frac{\pi}{2})} - e^{-i(kr - \ell \frac{\pi}{2})} \right] \\ \Rightarrow e^{2i\delta_{\ell}} &= 1 + \frac{2ik}{2\ell+1} f_{\ell} \end{aligned}$$



$$\begin{aligned} \blacktriangleright \psi_{\vec{k}}(\vec{r}) &= \sum_{\ell} c_{\ell} \frac{u_{\ell}(r)}{r} P_{\ell}(\cos \theta) \\ &\xrightarrow{r \rightarrow \infty} \sum_{\ell=0}^{\infty} \frac{1}{r} \left\{ i^{\ell} \frac{2\ell+1}{2ik} \left[\left(1 + \frac{2ik}{2\ell+1} f_{\ell} \right) e^{i(kr - \ell \frac{\pi}{2})} - e^{-i(kr - \ell \frac{\pi}{2})} \right] \right\} P_{\ell}(\cos \theta) \\ \Rightarrow u_{\ell}(r \rightarrow \infty) &\propto i^{\ell} \frac{2\ell+1}{2ik} \left[\left(1 + \frac{2ik}{2\ell+1} f_{\ell} \right) e^{i(kr - \ell \frac{\pi}{2})} - e^{-i(kr - \ell \frac{\pi}{2})} \right] \\ &\stackrel{!}{\propto} \sin\left(kr - \ell \frac{\pi}{2} + \delta_{\ell}\right) \\ &= \frac{1}{2i} \left[e^{i\delta_{\ell}} e^{i(kr - \ell \frac{\pi}{2})} - e^{-i\delta_{\ell}} e^{-i(kr - \ell \frac{\pi}{2})} \right] \\ &= \frac{1}{2i} e^{-i\delta_{\ell}} \left[e^{2i\delta_{\ell}} e^{i(kr - \ell \frac{\pi}{2})} - e^{-i(kr - \ell \frac{\pi}{2})} \right] \\ \Rightarrow e^{2i\delta_{\ell}} &= 1 + \frac{2ik}{2\ell+1} f_{\ell} \\ \Rightarrow f_{\ell} &= \frac{2\ell+1}{2ik} \left(e^{2i\delta_{\ell}} - 1 \right) = \frac{2\ell+1}{2ik} \left(e^{i\delta_{\ell}} - e^{-i\delta_{\ell}} \right) e^{i\delta_{\ell}} = \frac{2\ell+1}{k} \sin \delta_{\ell} e^{i\delta_{\ell}} \end{aligned}$$



$$f_\ell = \frac{2\ell + 1}{k} \sin \delta_\ell e^{i\delta_\ell}$$



$$f_\ell = \frac{2\ell + 1}{k} \sin \delta_\ell e^{i\delta_\ell}$$

$$\Rightarrow f_k(\theta) = \frac{1}{k} \sum_\ell (2\ell + 1) \sin \delta_\ell e^{i\delta_\ell} P_\ell(\cos \theta)$$



$$f_\ell = \frac{2\ell + 1}{k} \sin \delta_\ell e^{i\delta_\ell}$$

$$\Rightarrow f_k(\theta) = \frac{1}{k} \sum_\ell (2\ell + 1) \sin \delta_\ell e^{i\delta_\ell} P_\ell(\cos \theta)$$

► differenzieller Wirkungsquerschnitt:

$$\frac{d\sigma}{d\Omega} = |f_k(\theta)|^2 = \frac{1}{k^2} \sum_{\ell, \ell'} (2\ell + 1)(2\ell' + 1) \sin \delta_\ell \sin \delta_{\ell'} e^{i(\delta_\ell - \delta_{\ell'})} P_\ell(\cos \theta) P_{\ell'}(\cos \theta)$$



$$f_\ell = \frac{2\ell + 1}{k} \sin \delta_\ell e^{i\delta_\ell}$$

$$\Rightarrow f_k(\theta) = \frac{1}{k} \sum_\ell (2\ell + 1) \sin \delta_\ell e^{i\delta_\ell} P_\ell(\cos \theta)$$

► differenzieller Wirkungsquerschnitt:

$$\frac{d\sigma}{d\Omega} = |f_k(\theta)|^2 = \frac{1}{k^2} \sum_{\ell, \ell'} (2\ell + 1)(2\ell' + 1) \sin \delta_\ell \sin \delta_{\ell'} e^{i(\delta_\ell - \delta_{\ell'})} P_\ell(\cos \theta) P_{\ell'}(\cos \theta)$$

Die verschiedenen Partialwellen interferieren mit einander:

Die im Detektor gemessenen Teilchen haben einen definierten Impuls $\hbar \vec{k}'$

⇒ keinen definierten Drehimpuls



► totaler Wirkungsquerschnitt:

$$\sigma_{\text{tot}} = \int d\Omega \frac{d\sigma}{d\Omega} = 2\pi \int_{-1}^1 d \cos \theta \frac{d\sigma}{d\Omega}(\theta)$$



► totaler Wirkungsquerschnitt:

$$\sigma_{\text{tot}} = \int d\Omega \frac{d\sigma}{d\Omega} = 2\pi \int_{-1}^1 d \cos \theta \frac{d\sigma}{d\Omega}(\theta)$$

Es gilt:
$$\int_{-1}^1 dx P_\ell(x) P_{\ell'}(x) = \frac{2}{2\ell+1} \delta_{\ell\ell'}$$



► totaler Wirkungsquerschnitt:

$$\sigma_{\text{tot}} = \int d\Omega \frac{d\sigma}{d\Omega} = 2\pi \int_{-1}^1 d \cos \theta \frac{d\sigma}{d\Omega}(\theta)$$

Es gilt: $\int_{-1}^1 dx P_\ell(x) P_{\ell'}(x) = \frac{2}{2\ell+1} \delta_{\ell\ell'}$

$$\Rightarrow \sigma_{\text{tot}} = \sum_{\ell} \sigma_{\ell}, \quad \sigma_{\ell} = \frac{4\pi}{k^2} (2\ell + 1) \sin^2 \delta_{\ell} \quad \text{„partieller WQ“}$$



► totaler Wirkungsquerschnitt:

$$\sigma_{\text{tot}} = \int d\Omega \frac{d\sigma}{d\Omega} = 2\pi \int_{-1}^1 d \cos \theta \frac{d\sigma}{d\Omega}(\theta)$$

Es gilt: $\int_{-1}^1 dx P_\ell(x) P_{\ell'}(x) = \frac{2}{2\ell+1} \delta_{\ell\ell'}$

$$\Rightarrow \boxed{\sigma_{\text{tot}} = \sum_{\ell} \sigma_{\ell}, \quad \sigma_{\ell} = \frac{4\pi}{k^2} (2\ell + 1) \sin^2 \delta_{\ell} \quad \text{„partieller WQ“}}$$

keine Interferenzen beim totalen Wirkungsquerschnitt:

Grund: Nach Integration über $d\Omega$ ist die Impulsrichtung unbestimmt.

⇒ Drehimpuls ℓ im Prinzip scharf messbar



► Optisches Theorem:

Für die Legendre-Polynome gilt: $P_\ell(1) = 1$

$$\Rightarrow f_k(\theta = 0) = \frac{1}{k} \sum_{\ell} (2\ell + 1) \sin \delta_{\ell} e^{i\delta_{\ell}}$$



► **Optisches Theorem:**

Für die Legendre-Polynome gilt: $P_\ell(1) = 1$

$$\Rightarrow f_k(\theta = 0) = \frac{1}{k} \sum_{\ell} (2\ell + 1) \sin \delta_{\ell} e^{i\delta_{\ell}}$$

$$\Rightarrow \frac{4\pi}{k} \operatorname{Im} f_k(\theta = 0) = \frac{4\pi}{k^2} \sum_{\ell} (2\ell + 1) \sin^2 \delta_{\ell} = \sigma_{\text{tot}} \quad \checkmark$$



► **Optisches Theorem:**

Für die Legendre-Polynome gilt: $P_\ell(1) = 1$

$$\Rightarrow f_k(\theta = 0) = \frac{1}{k} \sum_{\ell} (2\ell + 1) \sin \delta_{\ell} e^{i\delta_{\ell}}$$

$$\Rightarrow \frac{4\pi}{k} \operatorname{Im} f_k(\theta = 0) = \frac{4\pi}{k^2} \sum_{\ell} (2\ell + 1) \sin^2 \delta_{\ell} = \sigma_{\text{tot}} \quad \checkmark$$

► **Jede Partialwelle erfüllt das optische Theorem separat:**

$$\frac{4\pi}{k} \operatorname{Im} f_{\ell} P_{\ell}(\cos(0)) = \frac{4\pi}{k} \operatorname{Im} f_{\ell} = \frac{4\pi}{k^2} (2\ell + 1) \sin^2 \delta_{\ell} = \sigma_{\ell}$$